



کاهش اریبی برآوردهای مدل نیمهپارامتری بقا به کمک خودگردانسازی

احسان اسحقی^۱، حسین باعیشی^۲

^۱دانشگاه علوم پزشکی بقیه الله

^۲دانشگاه صنعتی شاهرود

چکیده: برای تحلیل داده‌های بازگشتی بقا، مدل‌های مختلفی پیشنهاد شده‌اند. با توجه به ماهیت بازگشتی بودن این نوع داده‌ها در طول زمان، رده مدل‌های نیمهپارامتری که شامل ضرایب وابسته به زمان هستند، بسیار مفید و منعطف می‌باشند. برآوردهای پارامترها در این مدل‌ها معمولاً صورت پسته ندارند و لازم است برای محاسبه آن‌ها از تکرار معادله‌های برآوردهای، به ازای هر نقطه زمانی، استفاده کرد. یک نتیجه معمول این نوع برآوردهایی، ناهمواری برآوردهای است و برای حل این مشکل می‌توان از روش هموارسازی هسته استفاده کرد. به دلیل اریبی القاشه بـه برآوردهای حاصل به واسطه اریبی ذاتی روش هسته در کران‌ها، بهویژه در نمونه‌های کوچک، در این مقاله از روش خودگردانسازی پارامتری برای کاهش آن استفاده می‌کیم. در یک مطالعه شبیه‌سازی عملکرد روش پیشنهادی را تشریح خواهیم کرد.

واژه‌های کلیدی: خودگردانسازی، داده‌های بازگشتی، مدل نیمهپارامتری بقا.

کد موضوع‌بندی ریاضی (۱۰۲۰): 62F40

۱ مقدمه

در بسیاری از علوم، گاهی اوقات یک پیشامد در طول زمان ممکن است بیش از یک بار رخ دهد. این قبیل پیشامدهای بازگشتی می‌گویند. برای مثال، برخی پیماری‌ها مانند ایدز که عفونت‌هایی تکرارشونده دارند یا خرابی‌های بی در بی یک سیستم در خط تولید یک دستگاه، نمونه‌هایی از این نوع داده‌ها هستند. یکی از ویژگی‌های این نوع داده‌ها وابستگی پیشامدهای متفاوت برای یک فرد است. برای مدل‌بندی پیشامدهای بازگشتی، استفاده از مدل‌های رگرسیونی نیمهپارامتری یک انتخاب مناسب است. مدل‌های نیمهپارامتری با داشتن ضرایب وابسته و مستقل از زمان در خود، در مدل‌بندی پیشامدهای بازگشتی موثر و منعطف هستند؛ زیرا در واقعیت، به دلیل ماهیت بازگشتی بودن پیشامدها، ممکن است هر دو عوامل واابسته و مستقل از زمان بر آن‌ها موثر باشند.

احسان اسحقی : ehsan_eshaghi@yahoo.com

^۱Recurrent events

A-10-617-1

مدل‌های نیمهپارامتری مختلفی برای تحلیل داده‌های بازگشتی بدعونان زیردههایی از مدل‌های شرطی و حاشیه‌ای پیشنهاد شده‌اند. در تحلیل بقا مدل‌های رگرسیونی تعریف شده بر حسب تابع مخاطره شرطی، به طور گسترده برای توصیف وابستگی زمان‌های بقا به متغیرهایی تبیینی مورد استفاده قرار می‌گیرند. مدل مخاطره نسبی کاکس^۱، یکی از معروف‌ترین این مدل‌هاست. در عمل، مدل‌بندی میانگین تعداد پیشامدها در مقابل مدل مخاطره نسبی کاکس، برای این داده‌های بازگشتی قابل فهم‌تر است ([سان و همکاران \(۲۰۱۱\)](#)). برخی از محققان از مدل‌های رگرسیونی مبتنی بر تابع میانگین و نرخ استفاده کرده‌اند. [لين و همکاران \(۲۰۰۰\)](#) مدلی را برای تابع میانگین و نرخ حاشیه‌ای بر اساس یک تابع پیوند از نوع کاکس معرفی کردند و استنباط‌ها را با فرض پیوستگی زمان تعیین دادند. همچنین [مارتینسون و همکاران \(۲۰۰۲\)](#) مطالعاتی را برای برآورد ضرایب وابسته و مستقل از زمان در مدل‌های کاکس انجام دادند. اخیرا نیز [سان و همکاران \(۲۰۱۱\)](#)، یک مدل رگرسیونی حاشیه‌ای را با ترکیبی از ضرایب وابسته و مستقل از زمان برای تحلیل داده‌های بازگشتی پیشنهاد کرده‌اند.

تاکنون کاربردهای روش‌های بازنمone‌گیری^۲، مانند خودگردان‌سازی^۳، در تحلیل داده‌های بازگشتی چندان مورد توجه و مطالعه قرار نگرفته است. [گزالو و پنا \(۲۰۰۲\)](#) روش خودگردان‌سازی را برای برآورد توزیع نمونه‌ای برآوردهای میانه توزیع زمان، بین وقوع پیشامدها در داده‌های بازگشتی مورد استفاده قرار دادند. [آنکلتو و لوزادا \(۲۰۱۲\)](#) روشی بر مبنای خودگردان‌سازی برای برآورد فاصله اطمینان در داده‌های بازگشتی ارایه دادند.

برآوردهای پارامترها در مدل‌های نیمهپارامتری بقا معمولاً صورت بسته ندارند و لازم است برای محاسبه آن‌ها از تکرار معادله‌های برآوردهای براوردیاب تعیین‌یافته^۴، به ازای هر نقطه زمانی، استفاده کرد. نتیجه معمول این نوع برآوردهایی، ناهمواری برآوردهای است. برای حل این مشکل معمولاً از روش‌های هموارسازی استفاده می‌شود. در این مقاله، ما از روش هسته^۵ برای اجرای این مرحله استفاده می‌کنیم. به دلیل اریبی القاشهده به برآوردهایی حاصل به واسطه اریبی ذاتی روش هسته در کران‌ها، بهویژه برای نمونه‌های با حجم کم، در این مقاله از روش خودگردان‌سازی پارامتری برای کاهش آن استفاده می‌کنیم. در بخش بعدی مدل نیمهپارامتری بقا ([سان و همکاران \(۲۰۱۱\)](#)) و روش برآذش مدل را تشریح می‌کنیم. در بخش ۳ روش خودگردان‌سازی پارامتری را به اختصار معرفی می‌کنیم. کاهش اریبی حاصل از بدکارگیری روش خودگردان‌سازی را نیز با یک مطالعه شبیه‌سازی در بخش ۴ مورد ارزیابی قرار می‌دهیم. در پایان بحث و نتیجه‌گیری خواهیم کرد.

۲ معرفی مدل

برای ساخت مدل، n نفر را در طول زمان مورد بررسی قرار می‌دهیم. فرض کنید $N_i^*(t)$ تعداد پیشامدهایی باشد که در طول بازه $[t_0, t]$ برای فرد i ام رخ می‌دهد. همچنین فرض کنید (\cdot) X_i و Z_i بردارهای فرآیندهایی به ترتیب p و q بعدی برای فرد i ام باشند. در اکثر کاربردها، بازه زمانی مورد بررسی محدود است و ممکن است برخی از پیشامدها سانسور شوند. از این رو، $(t, N_i^*(t))$ به طور کامل مشاهد نمی‌شود. اگر C_i را به عنوان زمان سانسور تعریف کنیم، آن‌گاه فرآیند قابل مشاهد به صورت $N_i^*(t \wedge C_i) = N_i^*(t \wedge C_i \geq t)$ تعریف می‌شود، که در آن $a \wedge b = \min(a, b)$. فرض می‌کنیم با شرط داشتن (\cdot) X_i و Z_i ، C_i و $N_i^*(t)$ مستقل از هم هستند. تعریف می‌کنیم $I(C_i \geq t)$ به طوری که $I(C_i \geq t)$ تابع نشان‌گر است. بنابراین، مجموعه داده مشاهده شده به صورت $\{N_i(t), Y_i(t), X_i(\cdot), Z_i(\cdot)\}$ ، $i = 1, \dots, n$ است.

^۱Cox proportional hazard model

^۲Resampling

^۳Bootstrap

^۴Generalized estimating equations

^۵Kernel method

مدل رگرسیونی نرخ حاشیه‌ای^۷ پیشنهادی توسط سان و همکاران (۲۰۱۱) با ترکیبی از ضرایب وابسته و مستقل از زمان به صورت زیر تعریف می‌شود:

$$E\{dN_i^*(t)|\mathbf{X}_i(t), \mathbf{Z}_i(t)\} = \exp\{\boldsymbol{\beta}_*(t)^T \mathbf{X}_i(t) + \boldsymbol{\gamma}_*^T \mathbf{Z}_i(t)\} d\mu_*(t), \quad (1.2)$$

به طوری که $(\cdot)_*$ بردار p بعدی ضرایب رگرسیونی وابسته به زمان، $\boldsymbol{\beta}_*$ بردار q بعدی ضرایب رگرسیونی مستقل از زمان و $(\cdot)_*$ تابع میانگین پایه‌ای است. فرض کنید

$$\mathbf{N}(t) = (N_1(t), \dots, N_n(t))^T \quad X(t) = (\mathbf{X}_1(t), \dots, \mathbf{X}_n(t))^T \quad Z(t) = (\mathbf{Z}_1(t), \dots, \mathbf{Z}_n(t))^T,$$

$$N_*(t) = n^{-1} \sum_{i=1}^n N_i(t) \text{ و } N_*(t) = n^{-1} \sum_{i=1}^n N_i(t).$$

$$M_i(t) = N_i(t) - \int_0^t Y_i(s) \exp\{\boldsymbol{\beta}_*(s)^T \mathbf{X}_i(s) + \boldsymbol{\gamma}_*^T \mathbf{Z}_i(s)\} d\mu_*(s), \quad i = 1, \dots, n.$$

تحت مدل (۱.۲)، $M_i(t)$ ها فرآیندهایی با میانگین صفر هستند. صفر بودن میانگین $M_i(t)$ ها با توجه به تعریف $(Y_i(t)$ و مدل (۱.۲)، به سادگی قابل درک است. بنابراین به ازای مقادیر (β, γ, μ) برآوردگری منطقی برای (t) از حل عبارت

$$\sum_{i=1}^n [dN_i(t) - Y_i(t) \exp\{\boldsymbol{\beta}_*(t)^T \mathbf{X}_i(t) + \boldsymbol{\gamma}_*^T \mathbf{Z}_i(t)\}] d\mu_*(t) = 0, \quad 0 \leq t \leq \tau,$$

بدست می‌آید، که در آن τ مقدار تعیین شده‌ای است که $P(C_i \geq \tau) > 0$. در نتیجه برآوردگر (t) به صورت

$$\hat{\mu}_*(t; \boldsymbol{\beta}(t), \boldsymbol{\gamma}) = \int_0^t S_*(t; \boldsymbol{\beta}(t), \boldsymbol{\gamma})^{-1} dN_*(t),$$

محاسبه می‌شود.

۱.۲ برازن مدل

برای برآورد (β, γ, μ) ، با استفاده از معادله‌های برآوردهای تعمیم‌یافته (لیانگ و ذگر ۱۹۸۶) و با استفاده از $(\hat{\mu}, \hat{\beta}, \hat{\gamma})$ ، معادله‌های برآوردهای زیر را داریم:

$$\begin{aligned} X(t)^T [d\mathbf{N}(t) - \phi(t; \boldsymbol{\beta}(t), \boldsymbol{\gamma}) S_*(t; \boldsymbol{\beta}(t), \boldsymbol{\gamma})^{-1} dN_*(t)] &= 0, \quad 0 \leq t \leq \tau, \\ \int_0^\tau Z(t)^T [d\mathbf{N}(t) - \phi(t; \boldsymbol{\beta}(t), \boldsymbol{\gamma}) S_*(t; \boldsymbol{\beta}(t), \boldsymbol{\gamma})^{-1} dN_*(t)] &= 0. \end{aligned} \quad (2.2)$$

معادله‌های (۲.۲) هر کدام معادله‌ای با دو مجهول هستند و بنابراین نمی‌توان به صورت بسته‌ای از برآوردهای دست یافت. پس با به کار بردن روش‌های عددی نظری نیوتون-رافسون به وسیله بسط تیلور تابع $\phi(t; \boldsymbol{\beta}(t), \boldsymbol{\gamma})$ حول برآورد جاری $(\boldsymbol{\beta}^l(t), \boldsymbol{\gamma}^l(t))$ ، می‌توان برآوردهایی برای $\boldsymbol{\beta}(t)$ و $\boldsymbol{\gamma}(t)$ بدست آورد. با استفاده از الگوریتم نیوتون-رافسون، معادله‌های بدهنگام کننده به صورت زیر تعریف می‌شوند (سان و همکاران ۲۰۱۱):

$$\{\boldsymbol{\beta}^{l+1}(t) - \boldsymbol{\beta}^l(t)\} S_*(t)^{-1} dN_*(t) = n^{-1} E_{xx}^l(t)^{-1} \{X(t) - \bar{X}^l(t)\}^T [d\mathbf{N}(t)]$$

^۷Marginal rate regression

$$-\Phi^l(t)\{Z(t)-\bar{Z}^l(t)\}(\gamma^{l+1}-\gamma^l)S^l(t)^{-1}dN.(t)], \quad (۴.۱)$$

$$\begin{aligned} & n^{-1} \int_{\cdot}^{\tau} \{Z(t)-\bar{Z}^l(t)\}^T d\mathbf{N}(t) - \int_{\cdot}^{\tau} E_{zx}^l(t)\{\beta^{l+1}(t)-\beta^l(t)\}S^l(t)^{-1}dN.(t) \\ & = \int_{\cdot}^{\tau} E_{zz}^l(t)(\gamma^{l+1}-\gamma^l)S^l(t)^{-1}dN.(t), \end{aligned} \quad (۴.۲)$$

با قرار دادن رابطه (۴.۲) و حل معادله بر اساس γ^{l+1} , به رابطه تکراری $\gamma^{l+1} = \Psi_r(\gamma^l)$ دست می‌یابیم بدطوری که

$$\Psi_r(\gamma^l) = \gamma^l + \frac{A^l(\tau)^{-1}}{n} \int_{\cdot}^{\tau} [\{Z(t)-\bar{Z}^l(t)\}^T - E_{zx}^l(t)E_{xx}^l(t)^{-1}\{X(t)-\bar{X}^l(t)\}^T]d\mathbf{N}(t), \quad (۵.۱)$$

که در آن $A^l(\tau) = A(\tau; \beta^l(t), \gamma^l)$

$$A(\tau; \beta(t), \gamma) = \int_{\cdot}^{\tau} [E_{zz}^l(t) - E_{zx}^l(t)E_{xx}^l(t)^{-1}E_{zx}^l(t)^T]S^l(t)^{-1}dN.(t).$$

برای برآورد (β) , با استفاده از معادله (۳.۲), تکرار معادله به ازای هر t باعث ناهمواری برآورده منحنی (β) می‌شود و حتی ممکن است موج عدم سازگاری برآورده شود. بنابراین از روش هسته برای هموارسازی آن استفاده می‌کیم. **مارتینسون و همکاران (۲۰۰۲)** و **شیکه و مارتینسون (۲۰۰۴)**, پیشنهاد کردند به جای استفاده از (β) , از ضرایب رگرسیونی تجمعی $B^l(t) = \int_{\cdot}^t \beta.(s)ds$ استفاده کنیم که منجر به نتایج پایدارتری می‌شود.

فرض کنید (β) همچنین (λ) به ترتیب برآوردهای هسته (β) و (λ) بر پایه $\mu^l(t) = \hat{\mu}(t; \beta^l, \gamma^l)$ باشند. یعنی $\mu^l(t)$ و $B^l(t)$ با پهنای نوار ^۸ h باشند.

$$\beta^l(t) = \int h^{-1} K\left(\frac{u-t}{h}\right) \beta^l(u) du,$$

$$\lambda^l(t) = \int h^{-1} K\left(\frac{u-t}{h}\right) \lambda^l(u) du,$$

که در آن $K(\cdot)$ یک تابع هسته متقابله است. با قرار دادن $\lambda^l(t)dt$ در رابطه (۳.۲) به جای $\frac{dN.(t)}{S^l(t)}$, داریم

$$\begin{aligned} & \beta^{l+1}(t)\lambda^l(t)dt - \beta^l(t)\lambda^l(t)dt \\ & = n^{-1}E_{xx}^l(t)^{-1}\{X(t)-\bar{X}^l(t)\}^T d\mathbf{N}(t) - \Phi^l(t)\{Z(t)-\bar{Z}^l(t)\}(\gamma^{l+1}-\gamma^l)S^l(t)^{-1}dN.(t). \end{aligned}$$

بنابراین با تقسیم طرفین بر (λ^l) و انتگرال گیری, به رابطه تکراری $\mathbf{B}^{l+1}(t) = \Psi_b(\mathbf{B}^l)(t)$ دست می‌یابیم, به طوری که

$$\begin{aligned} \Psi_b(\mathbf{B}^l)(t) &= \int_{\cdot}^t \beta^l(u)du + n^{-1} \int_{\cdot}^t \lambda^l(u)^{-1} E_{xx}^l(u)^{-1} \{X(u)-\bar{X}^l(u)\}^T \\ & \times [d\mathbf{N}(u) - \Phi^l(u)\{Z(u)-\bar{Z}^l(u)\}(\gamma^{l+1}-\gamma^l)S^l(u)^{-1}dN.(u)]. \end{aligned} \quad (۶.۱)$$

با استفاده متوالی از معادلهای تکراری (۵.۱) و (۶.۱), برآوردهای (β) , (\mathbf{B}) و (γ) بدستگام می‌شوند. مراحل تا جایی ادامه می‌یابند که اختلاف بین برآوردها در دو مرحله متوالی, کمتر از یک آستانه مشخص کوچک, مثلاً -6 , شود.

^۸Bandwidth

۳ خودگردانسازی پارامتری

به دلیل استفاده از روش هسته برای هموارسازی برآوردهای پارامتری مدل (۱.۲)، انتظار داریم یک اربیتی به برآوردهای تحمیل شود. دلیل آن هم وجود اربیتی ذاتی القا شده تو سط روش هسته به ویژه در کرانها است. از طرفی اگر حجم نمونه کم باشد، این اربیتی در میانگین توان دوم خطای (MSE) واریانس را مغلوب می کند. بنابراین تصحیح این اربیتی از اهمیت ویژه ای در به دست آوردن استنباط های دقیق برخوردار است. این تصحیح نیاز به شناخت توزیع برآوردهای دارد. اما به دلیل پیچیدگی صورت برآوردهای حاصل، محاسبه توزیع نمونه ای آنها ممکن نیست و باید از نسخه های تقریبی استفاده کرد. در آمار، برای تقریب توزیع های نمونه ای دو راهکار کلی وجود دارد: ۱) نظریه مجانبی توزیع ها و ۲) روش های بازنمونه گیری مانند خودگردانسازی. در راهکار اول، همگرایی کند به توزیع های حدی برای مدل های پیچیده استفاده از تقریب های حاصل را برای نمونه های کوچک و متوسط با تردید مواده می کند. بنابراین، در این موارد، راهکار معمول استفاده از روش های بازنمونه گیری است. در این مقاله، رهیافت منتخب ما استفاده از روش خودگردانسازی پارامتری است. در خودگردانسازی پارامتری، ابتدا مدل (۱.۲) را به داده ها برازش می دهیم. سپس نمونه های خودگردان را از مدل برازش شده شبیه سازی می کنیم. با تکرار این مکانیسم، مجموعه داده های خودگردان تولید می شوند که دارای توزیع مشابه داده های واقعی هستند. در مرحله بعدی برای هر نمونه خودگردان (مشابه داده های واقعی) مدل را برازش می دهیم و برآورد پارامترها را به دست آوریم. با این عمل، تحققی از توزیع نمونه ای برآوردها (با حجمی برابر تعداد تکرارهای خودگردان) به دست می آید. در نهایت، توزیع نمونه ای برآوردها تو سط توزیع تجربی تحقق نتیجه شده از آنها تقریب زده می شود.

۴ مطالعه شبیه سازی

در مطالعه شبیه سازی، مدلی با یک ضریب وابسته به زمان و یک ضریب مستقل از زمان در نظر گرفتیم. در مدل مفروض، به ازای $n = 1, \dots, i$ زمان های رخداد پیشامدها را از فرآیند پواسن با مدل حاشیه ای زیر تولید کردیم:

$$E\{dN_i^*(t)|X_i(t), Z_i(t)\} = \exp\{-0.5 + 0.5 \sin(2t)X_i(t) + 0.5Z_i(t)\}dt, \quad (1.4)$$

به طوری که X_i از توزیع نرمال استاندارد، Z_i از توزیع برنولی با پارامتر 0.5 و زمان های سانسور C_i از توزیع یکنواخت در بازه $(2, 5)$ تولید شدند. با این تنظیمات، برای هر فرد به طور متوسط ۳ پیشامد بازگشتی شبیه سازی شد. با تولید یک مجموعه داده از مدل (۱.۴)، به عنوان داده های اصلی، ابتدا ضرایب $\beta(t)$ و γ را برآورد کردیم. سپس با استفاده از روش خودگردانسازی پارامتری، 1000 مجموعه داده خودگردان را از مدل برازش شده شبیه سازی کردیم. برای این 1000 مجموعه، برآوردهای $\beta^{(\ell)}(t)$ ، $\gamma^{(\ell)}$ و در نتیجه $B^{(\ell)}(t)$ ، $B, 1000, \dots, 1 = \ell$ ، را به دست آوردیم. در نهایت، میانگین ضرایب مستقل از زمان γ و ضرایب تجمعی $B(t)$ را محاسبه کردیم. نتایج برای حجم های نمونه $50, 100, 200$ و 400 برای ضرایب وابسته و مستقل از زمان به ترتیب در جدول های 1 و 2 گزارش شده اند.

جدول 1 ، مقادیر اربیتی جمع بسته توان دوم ISB (ISB) و میانگین جمع بسته توان دوم خطاهای $MISE$ (MISE) را برای برآورد ضریب رگرسیونی تجمعی واقعی (0) در مدل (۱.۴) با استفاده ازتابع هسته اپانچنیکوف 11 نشان می دهد. این دو کمیت به صورت های

$$ISB = \int_0^t (E(\hat{B}(s)) - B.(s))^2 ds, \quad MISE = E\left(\int_0^t (\hat{B}(s) - B.(s))^2 ds\right),$$

¹Integrated Squared Bias

¹⁰Mean Integrated Squared Error

¹¹Epanechnikov

جدول ۱: نتایج شبیه‌سازی برای برآورد ضریب رگرسیونی وابسته به زمان در مدل (۱.۴)

n	h	ISB	MISE
۵۰	.۴	.۰۶۴۵	.۰۱۳۰۹
۱۰۰	.۴	.۰۰۲۹۳	.۰۰۷۰۹
۲۰۰	.۴	.۰۰۲۳۰	.۰۰۴۶۶
۴۰۰	.۴	.۰۰۰۶۴	.۰۰۱۷۳

جدول ۲: نتایج شبیه‌سازی برای برآورد ضریب رگرسیونی مستقل از زمان در مدل (۱.۴)

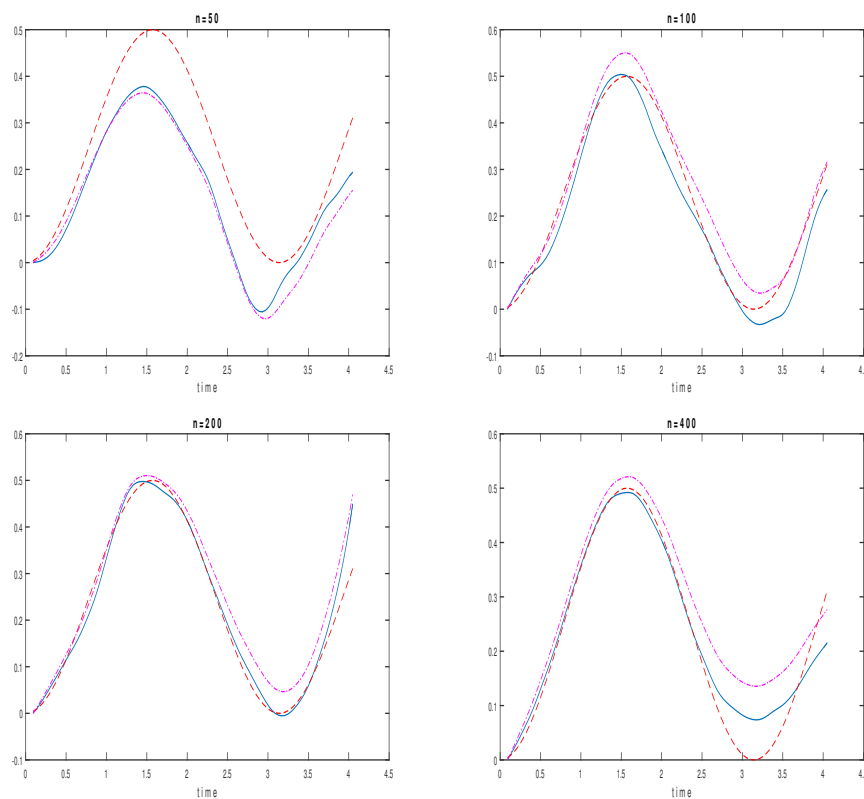
n	h	Bias	SSE	SEE
۵۰	.۴	.۰۷۳۴	.۰۰۲۴۰	.۰۰۴۴۸
۱۰۰	.۴	.۰۱۷۳۹	.۰۰۱۱۲	.۰۰۳۶۶
۲۰۰	.۴	.۰۱۶۰۷	.۰۰۰۴۴	.۰۰۲۲۲
۴۰۰	.۴	.۰۰۷۹۱	.۰۰۰۴۰	.۰۰۱۴۵

محاسبه می‌شوند. همان‌طور که در جدول ۱ مشهود است، با افزایش حجم نمونه عملکرد برآوردهای بیشتر شده و مقادیر اریبی و خطای کاهش می‌یابند به طوری که برای حجم نمونه ۴۰۰، مقادیر ISB و MISE ناچیز بوده و تقریباً برآوردهای نالریب حاصل می‌شوند. اما برای حجم نمونه کوچک ۵۰ و متوسط ۱۰۰، میزان اریبی و MISE قابل صرفنظر کردن نیستند. این نتیجه در شکل ۱ نیز تایید می‌شود. جدول ۲ شامل اریبی (Bias) (میانگین نمونه‌ای برآوردهای \hat{Y} منهای مقدار واقعی)، میانگین نمونه‌ای خطاهای استاندارد برآورده شده $\hat{\sigma}$ (SEE) و خطای استاندارد نمونه‌ای $\hat{\sigma}$ (SSE) می‌باشد که بر مبنای ۱۰۰۰ مجموعه داده شبیه‌سازی شده از مدل برآذش شده، محاسبه شده‌اند. مانند نتایج جدول ۱، با افزایش حجم نمونه مقدار اریبی و خطای برآوردهای کاهش می‌یابد.

برای بررسی عملکرد نقطه‌ای برآوردهای $\hat{B}(t)$, $B(t)$, $B\cdot \hat{B}(t)$, $B\cdot \hat{B}^*(t)$ برآوردهای ضرایب رگرسیونی تجمعی را در ۱۰۰ نقطه

$$t_k = .۰۰۵ + .۰۰۴k, \quad k = ۱, \dots, ۱۰۰,$$

محاسبه کردیم. نمودار برآوردهای برای چهار حجم نمونه ۵۰، ۱۰۰، ۲۰۰ و ۴۰۰ در شکل ۱ نمایش داده شده‌اند. در این نمودارها منحنی خط‌چین نشان دهنده تابع رگرسیونی تجمعی واقعی $y(t) = \int_0^t 0.5 \sin(2s) ds$, منحنی نقطه-خط‌چین برآورده ضریب تجمعی وابسته به زمان با استفاده از مجموعه داده اصلی و منحنی توپر، برآورده تصحیح اریبی شده $\hat{B}(t)$ به ازای ۱۰۰ نمونه خودگردان است. همان‌طور که در نمودارها مشخص است، برآورده تصحیح اریبی شده مبتنی بر روش خودگردان‌سازی در اکثر نقاط زمانی و در حجم نمونه‌های مختلف، اریبی کمتری نسبت به برآورده ضریب تجمعی وابسته به زمان با استفاده از مجموعه داده اصلی ارایه می‌دهد. همچنین، عملکرد استفاده از این روش با افزایش حجم نمونه، بهتر و منحنی برآورده منحنی اصلی نزدیک‌تر می‌شود.



شکل ۱: برآورد ضرایب رگرسیونی تجمعی وابسته به زمان

بحث و نتیجه‌گیری

مدل‌های نیمه‌پارامتری بقا به دلیل در نظر گرفتن عوامل وابسته و مستقل از زمان در توجیه رخداد پیشامدها دارای انعطاف و نتایج دقیقی می‌باشند. هر چند این برآوردهای از دقت قابل قبولی برخوردار هستند و از طرفی دقت آن‌ها با افزایش حجم نمونه افزایش می‌یابد ([اسحقی و همکاران \(۱۳۹۲\)](#)).
اما در نمونه‌های کوچک دارای اربیی قابل ملاحظه‌ای هستند که عده این اربیی را از اربیی ذاتی روش هسته به ارت می‌برند. در این مقاله نشان دادیم که با استفاده از روش خودگردان‌سازی می‌توان اربیی برآوردهای حاصل را کاهش داد و استباطه‌های دقیق‌تری گزارش کرد.

مراجع

اسحقی، ا.، باغیشنی، ح. و شاهسونی، د. (۱۳۹۲). برآش مدل‌های نیمه‌پارامتری بقا با اثرات وابسته به زمان برای داده‌های بازگردانه با روش هسته، مجله علوم آماری ۷، ۲۴-۱.

Anacleto O. and Louzada F. (2012), Bootstrap confidence intervals for industrial recurrent event data,

Pesquisa Operacional 32, 103 - 120.

González J.R. and Pena E.A. (2003), Bootstrapping median survival with recurrent event data, *IX Conferencia Española de Biometría*, 28 - 30.

Liang K.Y. and Zeger S.L. (1986), Longitudinal data analysis using generalized linear models, *Biometrika* 73, 13 - 22.

Lin D.Y., Wei L.J., Yang I. and Ying Z. (2000), Semiparametric regression for the mean and rate function of recurrent events, *Journal of the Royal Statistical Society, Series B* 62, 711 - 730.

Martinussen T., Scheike T.H. and Skovgaard I.M. (2002), Efficient estimation of fixed and time-varying covariate effects in multiplicative intensity models, *Scandinavian Journal of Statistics* 29, 57 - 74.

Scheike T.H. and Martinussen T. (2004), On estimation and tests of time-varying effects in the proportional hazard models, *Scandinavian Journal of Statistics* 31, 51 - 62.

Sun L., Zhou X. and Guo S. (2011), Marginal regression models with time-varying coefficients for recurrent event data, *Statistics in Medicine* 30, 2265 - 2277.